

## Линейный секторный диффузор LSD

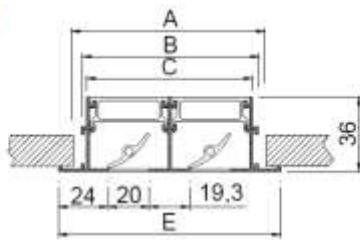
**MAPEI**

Диффузоры LSD имеют конструкцию , обеспечивающую отличные эстетические и технические характеристики. Эти диффузоры предназначены для установки в подвесных потолках.

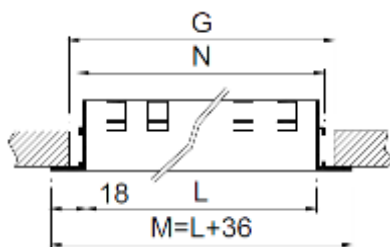
Данные диффузоры могут быть использованы как для подачи, так и для вытяжки воздуха. Путем регулирования направляющих устройств, разделенных на секции через каждые 100мм, можно получить распространение воздуха по горизонтали в том и другом направлении или по вертикали , без изменения объема воздуха. Диффузоры LSD позволяют изменять расход до 60% при сохранении устойчивости потока.

Эти диффузоры можно использовать на высоте от 2,6 до 4 метров , при перепаде температур до 12°C.

## LSD-AR



| N°VIAS | E   | A   | B   | C   |
|--------|-----|-----|-----|-----|
| 1      | 68  | 55  | 47  | 40  |
| 2      | 107 | 95  | 86  | 80  |
| 3      | 147 | 134 | 125 | 119 |
| 4      | 186 | 173 | 165 | 159 |



| L    | M    | N    | G    |
|------|------|------|------|
| 500  | 536  | 507  | 516  |
| 1000 | 1036 | 1007 | 1016 |
| 1200 | 1236 | 1207 | 1216 |
| 1500 | 1536 | 1507 | 1516 |
| 2000 | 2036 | 2007 | 2016 |

## КЛАССИФИКАЦИЯ

**LSD-AR** Линейный диффузор с направляющими пластинами, разделенными на секции (размером 100мм) .

Применяют для элементов длиной до 2м.

...-**ARI** Линейный диффузор с краями с левой стороны.

Применяют для элементов длиной более 2м.

...-**ARD** Линейный диффузор с краями с правой стороны.

Применяют для элементов длиной более 2м.

...-**INT** Линейный диффузор без краев.

Применяют для сборных элементов длиной более 4м.

**LSD-MOD** Модульный линейный диффузор направляющими пластинами, разделенными на секции (размером 100мм) , специально вместо фальш-плиты .

## МАТЕРИАЛ

Диффузор изготовлен из алюминия , внутренние пластины выполнены из пластика PVC .

## LSD-MOD

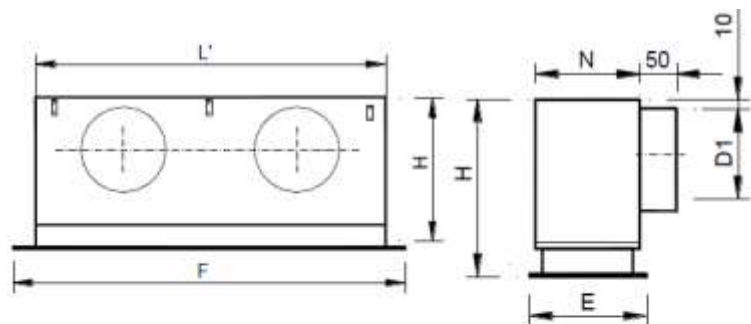
### LSD-ARI



### LSD-ARD

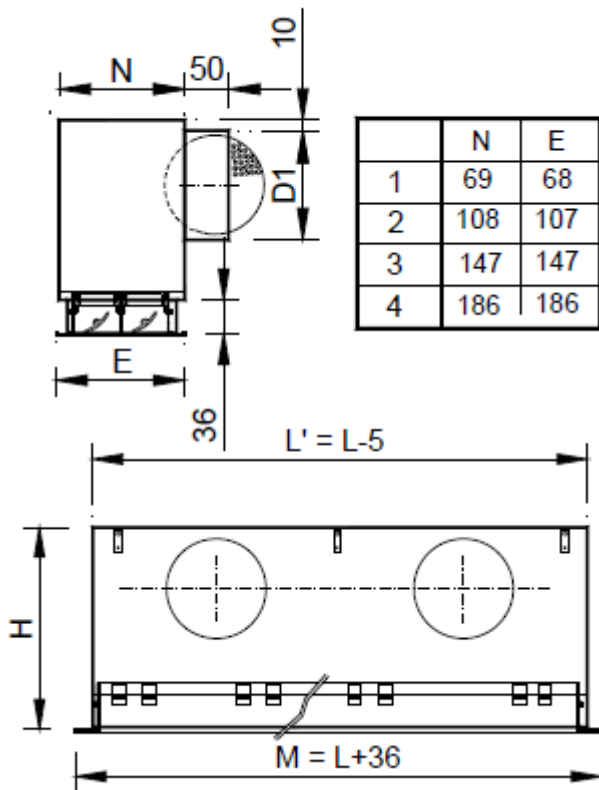


### LSD-INT



| MOD      | slots | F    | E   | L'   | H   | D1    | N   |
|----------|-------|------|-----|------|-----|-------|-----|
| 1200x300 | 1     | 1195 | 295 | 1145 | 256 | 1/158 | 69  |
| 1200x300 | 2     | 1195 | 295 | 1145 | 256 | 1/158 | 108 |
| 1200x300 | 3     | 1195 | 295 | 1145 | 296 | 2/198 | 147 |
| 1200x300 | 4     | 1195 | 295 | 1145 | 296 | 2/198 | 186 |
| 1350x300 | 1     | 1345 | 295 | 1295 | 256 | 1/158 | 69  |
| 1350x300 | 2     | 1345 | 295 | 1295 | 256 | 1/158 | 108 |
| 1350x300 | 3     | 1345 | 295 | 1295 | 296 | 2/198 | 147 |
| 1350x300 | 4     | 1345 | 295 | 1295 | 296 | 2/198 | 186 |

## LSD-AR + PLSD...-R



|   | L ≤ 0,5 |       | L ≤ 1 |       | L ≤ 1,2 |       | L ≤ 1,5 |       | L ≤ 2 |       |
|---|---------|-------|-------|-------|---------|-------|---------|-------|-------|-------|
|   | H       | D1    | H     | D1    | H       | D1    | H       | D1    | H     | D1    |
| 1 | 256     | 1/158 | 256   | 1/158 | 256     | 1/158 | 256     | 1/158 | 256   | 2/158 |
| 2 | 256     | 1/158 | 256   | 1/158 | 256     | 1/158 | 256     | 2/158 | 256   | 2/158 |
| 3 | 296     | 1/198 | 296   | 1/198 | 296     | 2/198 | 296     | 2/198 | 296   | 2/198 |
| 4 | 296     | 1/198 | 296   | 1/198 | 296     | 2/198 | 296     | 2/198 | 296   | 2/198 |

## ДОПОЛНИТЕЛЬНЫЕ ЭЛЕМЕНТЫ

**PLSD** Пленум-бокс с боковым круглым подсоединением, выполнен из гальванизированной стали.

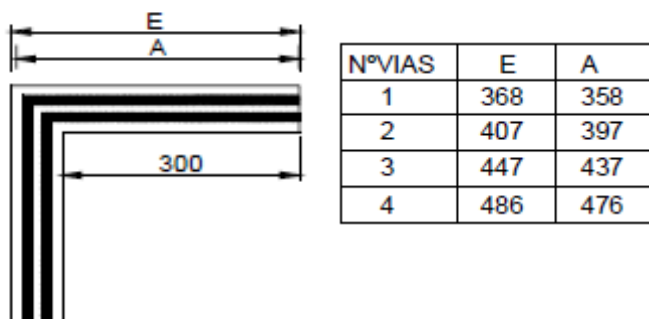
**....-R** Пленум-бокс с регулировкой объема воздуха.

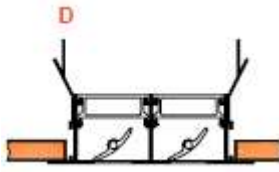
**.../AIS/** Пленум-бокс с теплозвуковой изоляцией из вспененного материала, имеющего плотность 25 кг / м3 ISO 845. Теплопроводность 10° C\_0,040 Вт / м°K EN 12667.

Классифицированная реакция на огонь B-s2, d0 EN 13501-1.

**A90/LSD/** Угловой линейный диффузор, выполнен под углом 90°.

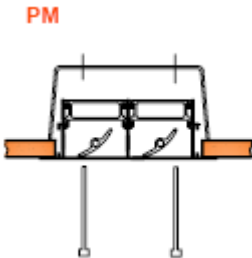
## УГЛОВАЯ СЕКЦИЯ ANG 90/LSD/



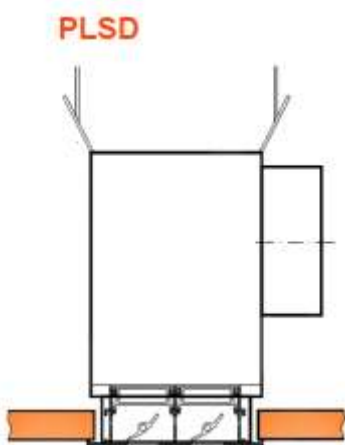


**КРЕПЛЕНИЕ**

**(D)** Крепление диффузора LSD или LSD+PLSD с помощью скоб для подвешивания к потолку (стандарт).

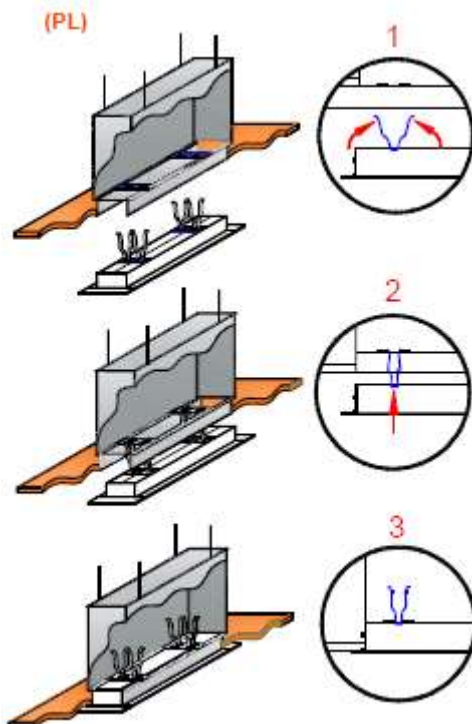


**(PM)** Крепление диффузора с помощью монтажной рамки и скрытых болтов. Подходит для диффузора LSD без пленума, для установки в подвесном потолке с прямоугольным воздуховодом.



**(PL)** Соединение диффузора LSD с пленум-боксом PLSD+PML с помощью специальных зажимов, подвешивание к потолку с помощью спец.скоб. Этот вид крепления позволяет легко установить линейный диффузор.

**ОТДЕЛОЧНЫЕ ПОКРЫТИЯ**



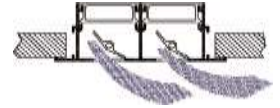
**AA** Анодирование под матовое серебро и пластины PVC черные.

**R9016S** Полуматовый белый цвет и пластины PVC черные (60-70% блеска)

**R9010S** Полуматовый белый цвет и пластины PVC черные (60-70% блеска)

**/AB/** Пластины PVC белые (доп.коэффициент) .

**RAL ...** Окрашивается в другие цвета RAL.



## РАСЧЕТНАЯ СКОРОСТЬ, ПОТЕРЯ ДАВЛЕНИЯ И УРОВЕНЬ ЗВУКОВОЙ МОЩНОСТИ, РАСПРЕДЕЛЕНИЕ ВОЗДУХА С ЭФФЕКТОМ ПОТОЛКА : В ОДНОМ НАПРАВЛЕНИИ

Рекомендуемая скорость

| Кол-во щелей | Vmin m/s | Vmax m/s |
|--------------|----------|----------|
| 1            | 2,5      | 4,5      |
| 2            | 2,5      | 4,5      |
| 3            | 2,5      | 4,0      |
| 4            | 2,5      | 4,0      |

Площадь живого сечения (м<sup>2</sup>)

|   | 0.5 m  | 1 m    | 1.5 m  | 2 m    |
|---|--------|--------|--------|--------|
| 1 | 0.0043 | 0.0087 | 0.013  | 0.0174 |
| 2 | 0.0087 | 0.0174 | 0.0261 | 0.0348 |
| 3 | 0.013  | 0.0261 | 0.0391 | 0.0522 |
| 4 | 0.0172 | 0.0348 | 0.052  | 0.0696 |

Поправочный коэффициент для Dpt и Lwa1  
LSD-AR + PLSD-R

|   |      | 0.5 m |      |      | 1 m  |      |      | 1.5 m |      |      | 2 m  |      |      |
|---|------|-------|------|------|------|------|------|-------|------|------|------|------|------|
|   |      | 100%  | 50%  | 0%   | 100% | 50%  | 0%   | 100%  | 50%  | 0%   | 100% | 50%  | 0%   |
| 1 | Dpt  | 0.95  | 2.35 | 3.15 | 1    | 1.4  | 2.2  | 1     | 1.4  | 2.2  | 1.1  | 2.5  | 3.3  |
|   | Lwa1 | -6    | -3   | -3,6 | 0    | 0,8  | 0,4  | +1,2  | +1,9 | +1,4 | -2   | -    | -1,6 |
| 2 | Dpt  | 0.98  | 2.48 | 3.25 | 1    | 1.5  | 2.3  | 1     | 1.5  | 2.3  | 1.2  | 2.7  | 3.5  |
|   | Lwa1 | -4    | -3,8 | -3,1 | 0    | +0,8 | +0,6 | +2,3  | +3,2 | +3,1 | 0    | +1   | +1,2 |
| 3 | Dpt  | 0.96  | 2.26 | 3.38 | 1    | 1.3  | 2.4  | 1     | 1.3  | 2.4  | 1.3  | 2.4  | 3.5  |
|   | Lwa1 | -7    | -6   | -6   | 0    | +0,8 | +0,5 | -2,7  | -2,8 | -2,7 | -1,4 | -1,1 | -1,1 |
| 4 | Dpt  | 0.95  | 2.35 | 3.05 | 1    | 1.4  | 2.1  | 1     | 1.4  | 2.1  | 1.1  | 2.5  | 3.2  |
|   | Lwa1 | -3,4  | -1,4 | -2,5 | 0    | +1,5 | +1,2 | -1,8  | -1,1 | -1,2 | -1,7 | -1   | -1,1 |

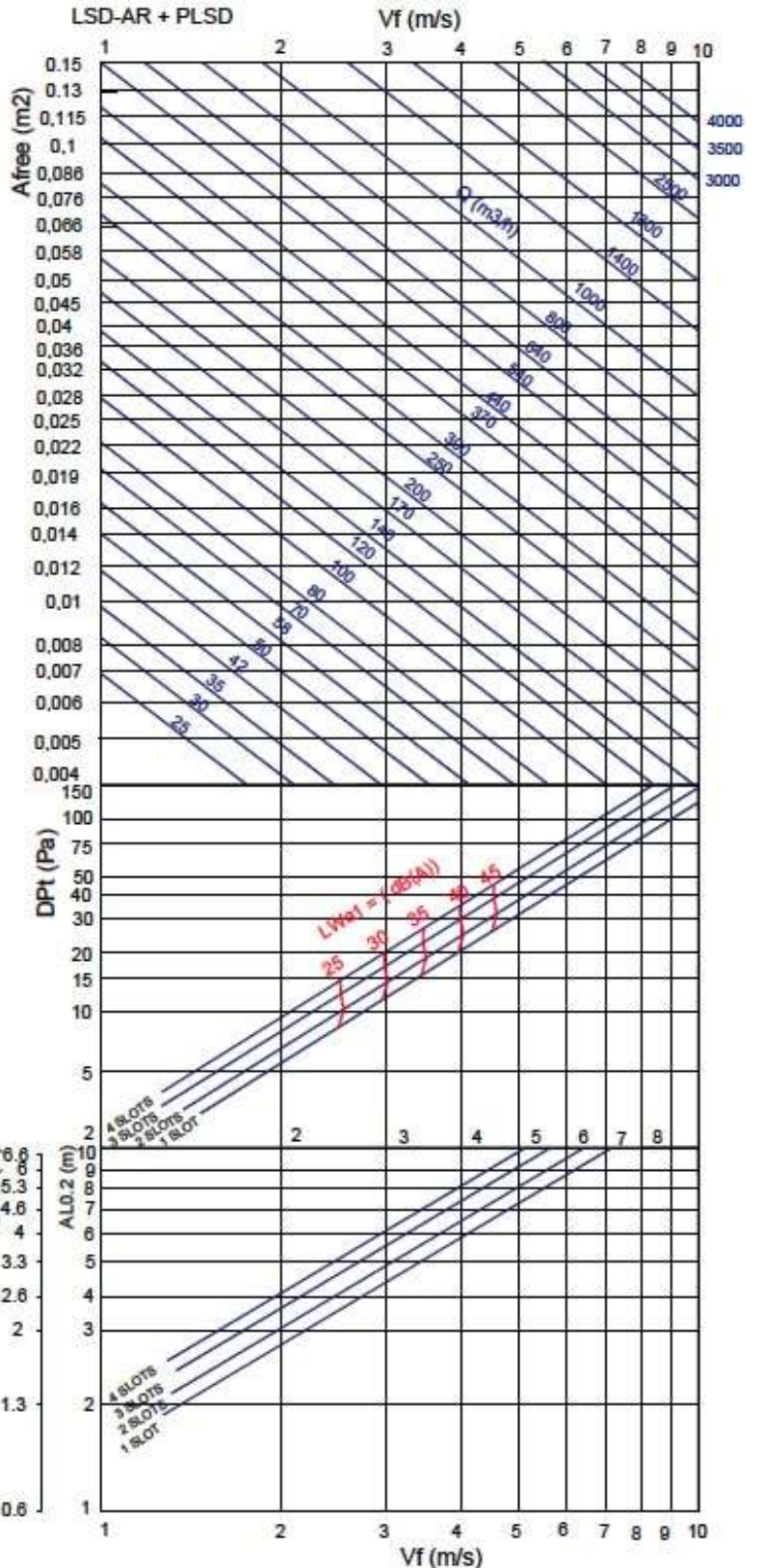
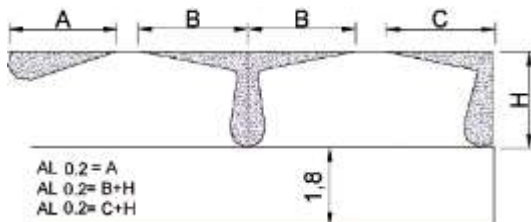
$$Dpt1 = Kp \times Dpt$$

$$Lwa1 = Lwa + Kf$$

Поправочный коэффициент при выбросе KL

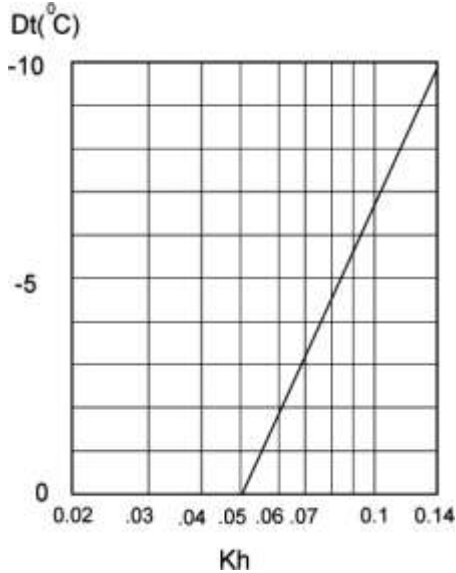
|   | 0.5 m | 1 m | 1.5 m | 2 m  |
|---|-------|-----|-------|------|
| 1 | 0.71  | 1   | 1.07  | 1.14 |
| 2 | 0.73  | 1   | 1.09  | 1.15 |
| 3 | 0.74  | 1   | 1.11  | 1.2  |
| 4 | 0.75  | 1   | 1.25  | 1.25 |

$$AL'02 = KI \times AL02$$

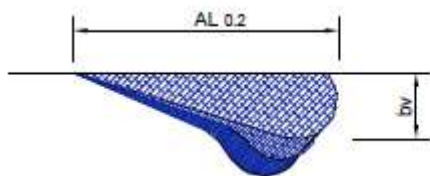




## ПОПРАВОЧНЫЙ КОЭФФИЦИЕНТ ПРИ РАСПРЕДЕЛЕНИИ ВОЗДУХА ПО ВЕРТИКАЛИ (bv) для DT(-)

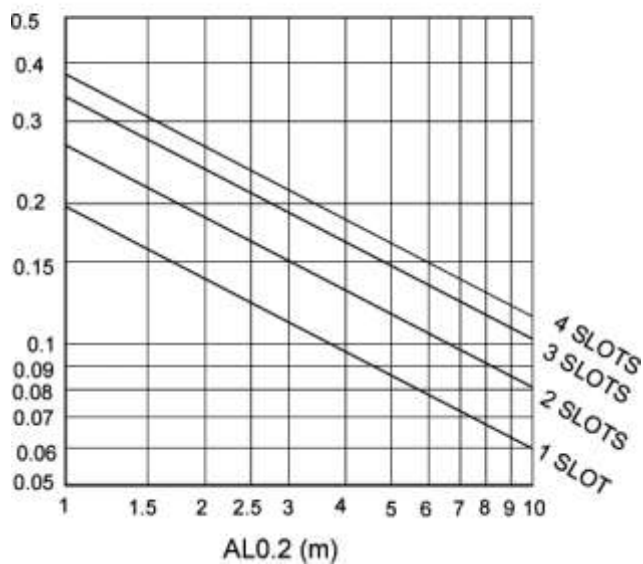


$K_h$  – Поправочный коэффициент при вертикальной диффузии

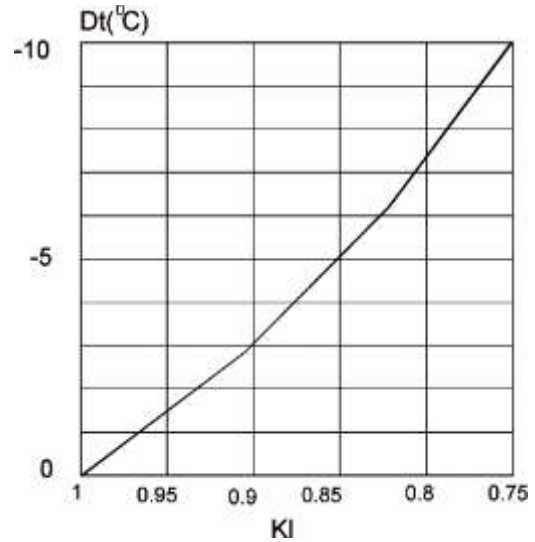


## СООТНОШЕНИЕ ТЕМПЕРАТУР

$$\frac{Dtl}{Dtz} = \frac{t_{\text{room}} - t_x}{t_{\text{room}} - t_{\text{supply}}}$$



## ПОПРАВОЧНЫЙ КОЭФФИЦИЕНТ ПРИ ВЫБРОСЕ (LO.2) DT(-)



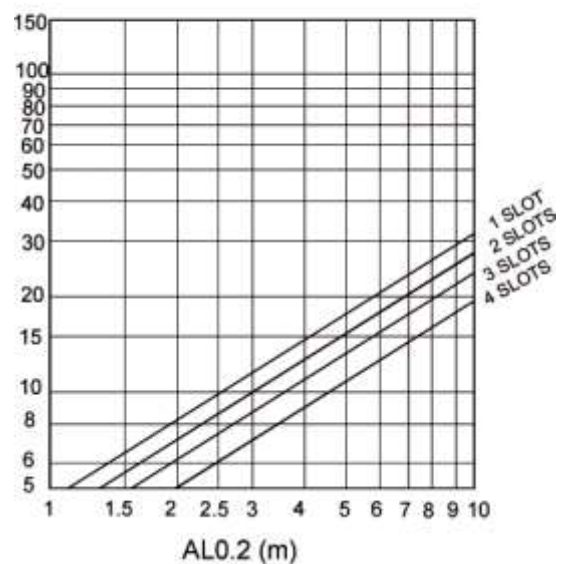
$K_I$  – Поправочный коэффициент при выбросе

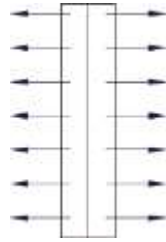
$$bv = K_h \times A I_{0.2}$$

$$A I_{0.2} (Dt < 0) = K_I \times A L_{0.2}$$

## СООТНОШЕНИЕ ВЫХОДОВ ВОЗДУХА

$$i = \frac{Q_r}{Q_0} = \frac{Q_{\text{total at } x}}{Q_{\text{of supply}}}$$





## РАСЧЕТНАЯ СКОРОСТЬ, ПОТЕРЯ ДАВЛЕНИЯ И УРОВЕНЬ ЗВУКОВОЙ МОЩНОСТИ, РАСПРЕДЕЛЕНИЕ ВОЗДУХА С ЭФФЕКТОМ ПОТОЛКА : В ДВУХ НАПРАВЛЕНИЯХ

Рекомендуемая скорость

| Кол-во щелей | Vmin m/s | Vmax m/s |
|--------------|----------|----------|
| 2            | 2,5      | 4,5      |
| 4            | 2,5      | 4,0      |

Площадь живого сечения (м<sup>2</sup>)

|   | 0.5 m  | 1 m    | 1.5 m  | 2 m    |
|---|--------|--------|--------|--------|
| 1 | 0.0043 | 0.0087 | 0.013  | 0.0174 |
| 2 | 0.0087 | 0.0174 | 0.0261 | 0.0348 |
| 3 | 0.013  | 0.0261 | 0.0391 | 0.0522 |
| 4 | 0.0172 | 0.0417 | 0.052  | 0.0696 |

Поправочный коэффициент для Dpt и Lwa1

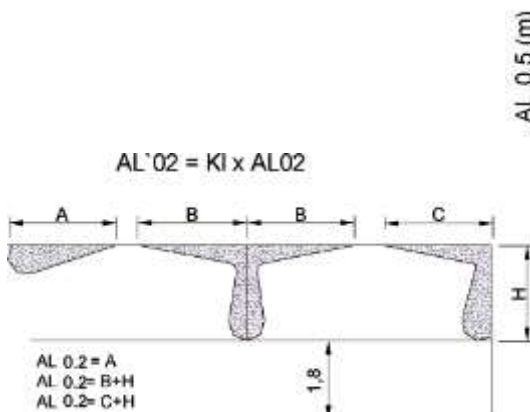
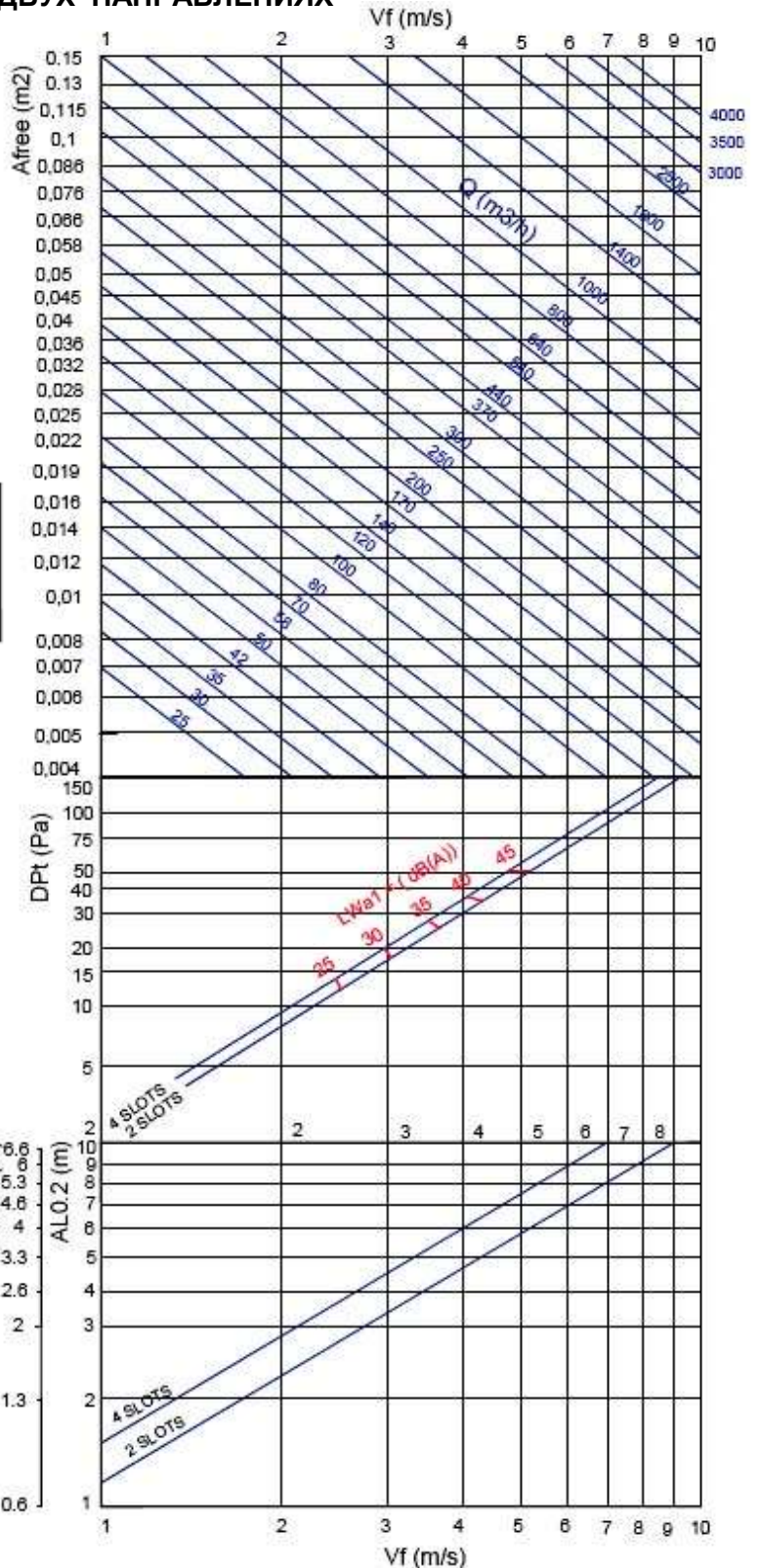
|   |      | 0.5 m |      |      | 1 m  |      |      | 1.5 m |      |      | 2 m  |      |      |
|---|------|-------|------|------|------|------|------|-------|------|------|------|------|------|
|   |      | 100%  | 50%  | 0%   | 100% | 50%  | 0%   | 100%  | 50%  | 0%   | 100% | 50%  | 0%   |
| 2 | Dpt  | 0.98  | 2.48 | 3.25 | 1    | 1.5  | 2.3  | 1     | 1.5  | 2.3  | 1.2  | 2.7  | 3.5  |
|   | Lwa1 | -3.9  | -3.5 | -3   | 0    | +0.6 | +0.6 | +2.3  | +3.2 | +3.1 | -0.3 | +0.9 | +1.1 |
| 4 | Dpt  | 0.95  | 2.35 | 3.05 | 1    | 1.4  | 2.1  | 1     | 1.4  | 2.1  | 1.1  | 2.5  | 3.2  |
|   | Lwa1 | -3.6  | -1.5 | -2.5 | 0    | +1.5 | +1.1 | -1.5  | -1.3 | -1.4 | -1.8 | -1.2 | -1.3 |

$$Dpt1 = Kp \times Dpt$$

$$Lwa1 = Lwa + Kf$$

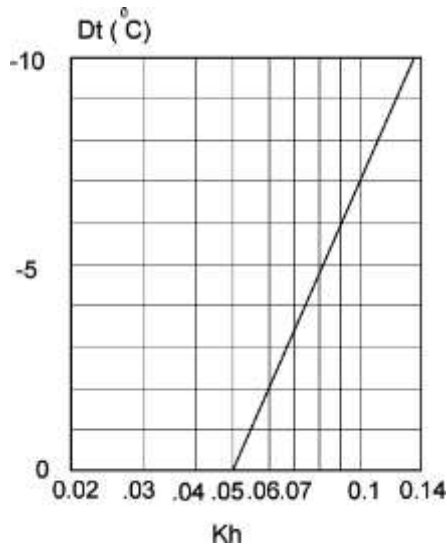
Поправочный коэффициент при выбросе KL

|   | 0.5 m | 1 m | 1.5 m | 2 m  |
|---|-------|-----|-------|------|
| 2 | 0.6   | 1   | 1.17  | 1.3  |
| 4 | 0.767 | 1   | 1.2   | 1.17 |



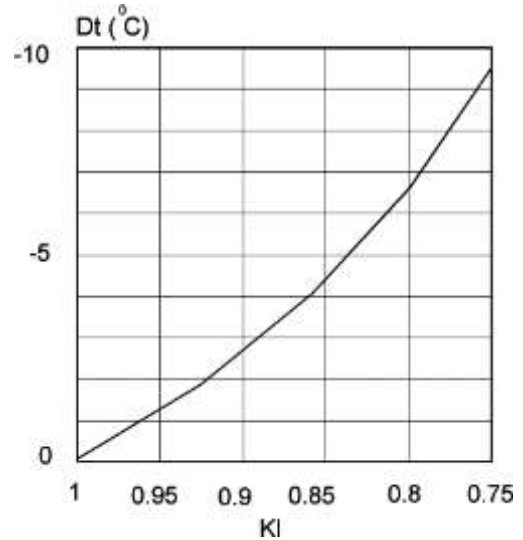


## ПОПРАВОЧНЫЙ КОЭФФИЦИЕНТ ПРИ РАСПРЕДЕЛЕНИИ ВОЗДУХА ПО ВЕРТИКАЛИ (bv) для Dt(-)

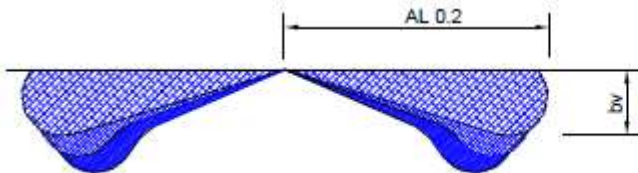


$K_h$  – Поправочный коэффициент при вертикальной диффузии

## ПОПРАВОЧНЫЙ КОЭФФИЦИЕНТ ПРИ ВЫБРОСЕ (LO.2) Dt(-)



$K_l$  – Поправочный коэффициент при выбросе

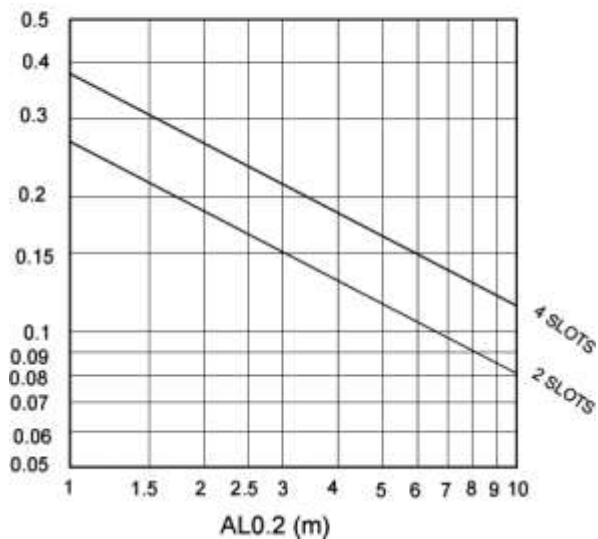


$$bv = K_h \times AL_{0.2}$$

$$AL'_{0.2} (Dt < 0) = K_l \times AL_{0.2}$$

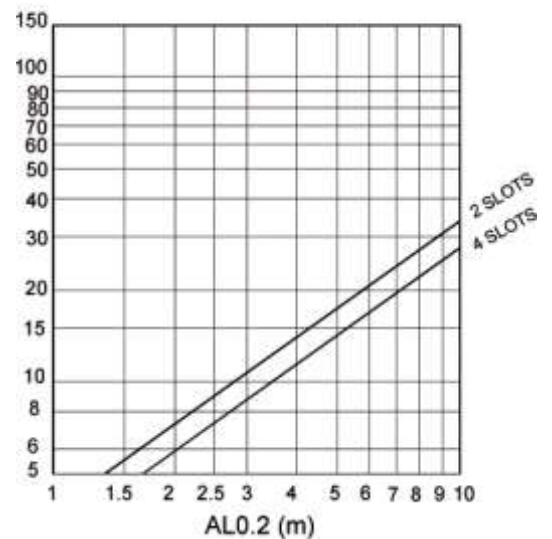
## СООТНОШЕНИЕ ТЕМПЕРАТУР

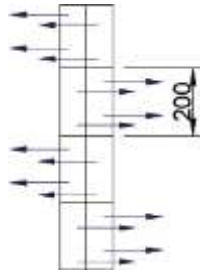
$$\frac{Dtl}{Dtz} = \frac{t_{room} - t_x}{t_{room} - t_{supply}}$$



## СООТНОШЕНИЕ ВЫХОДОВ ВОЗДУХА

$$i = \frac{Q_r}{Q_0} = \frac{Q_{total\ at\ x}}{Q\ of\ supply}$$





## РАСЧЕТНАЯ СКОРОСТЬ, ПОТЕРЯ ДАВЛЕНИЯ И УРОВЕНЬ ЗВУКОВОЙ МОЩНОСТИ, РАСПРЕДЕЛЕНИЕ ВОЗДУХА С ЭФФЕКТОМ ПОТОЛКА : В ДВУХ НАПРАВЛЕНИЯХ

Рекомендуемая скорость

| Кол-во щелей | Vmin m/s | Vmax m/s |
|--------------|----------|----------|
| 1            | 2,5      | 4,5      |
| 2            | 2,5      | 4,5      |
| 3            | 2,5      | 4,0      |
| 4            | 2,5      | 4,0      |

Площадь живого сечения (м<sup>2</sup>)

|   | 0.5 m  | 1 m    | 1.5 m  | 2 m    |
|---|--------|--------|--------|--------|
| 1 | 0.0043 | 0.0087 | 0.013  | 0.0174 |
| 2 | 0.0087 | 0.0174 | 0.0261 | 0.0348 |
| 3 | 0.013  | 0.0261 | 0.0391 | 0.0522 |
| 4 | 0.0172 | 0.0417 | 0.052  | 0.0696 |

Поправочный коэффициент для Dpt и Lwa1

|   |      | 0.5 m |      |      | 1 m  |      |      | 1.5 m |      |      | 2 m  |      |      |
|---|------|-------|------|------|------|------|------|-------|------|------|------|------|------|
|   |      | 100%  | 50%  | 0%   | 100% | 50%  | 0%   | 100%  | 50%  | 0%   | 100% | 50%  | 0%   |
| 1 | Dpt  | 0.95  | 2.35 | 3.15 | 1    | 1.4  | 2.2  | 1     | 1.4  | 2.2  | 1.1  | 2.5  | 3.3  |
|   | Lwa1 | -6    | -3   | -3.7 | 0    | +0.8 | +0.4 | +1    | +1.7 | +1.2 | -2.1 | -0.4 | -1.9 |
| 2 | Dpt  | 0.95  | 2.48 | 3.25 | 1    | 1.5  | 2.3  | 1     | 1.5  | 2.3  | 1.2  | 2.7  | 3.5  |
|   | Lwa1 | -3.7  | -3.4 | -2.9 | 0    | +0.6 | +0.8 | +2.4  | +3.3 | +3.2 | -0.5 | +0.8 | +0.9 |
| 3 | Dpt  | 0.95  | 2.26 | 3.36 | 1    | 1.3  | 2.4  | 1     | 1.3  | 2.4  | 1.3  | 2.4  | 3.5  |
|   | Lwa1 | -6.9  | -6.3 | -5.9 | 0    | +0.9 | +0.5 | -3    | -2.9 | -3   | -1.8 | -1.5 | -1.6 |
| 4 | Dpt  | 0.95  | 2.35 | 3.05 | 1    | 1.4  | 2.1  | -3    | -2.9 | -3   | 1.1  | 2.5  | 3.2  |
|   | Lwa1 | -3.4  | -1.8 | -2.4 | 0    | +1.6 | +1.2 | -2    | -1.4 | -1.5 | -2   | -1.3 | -1.5 |

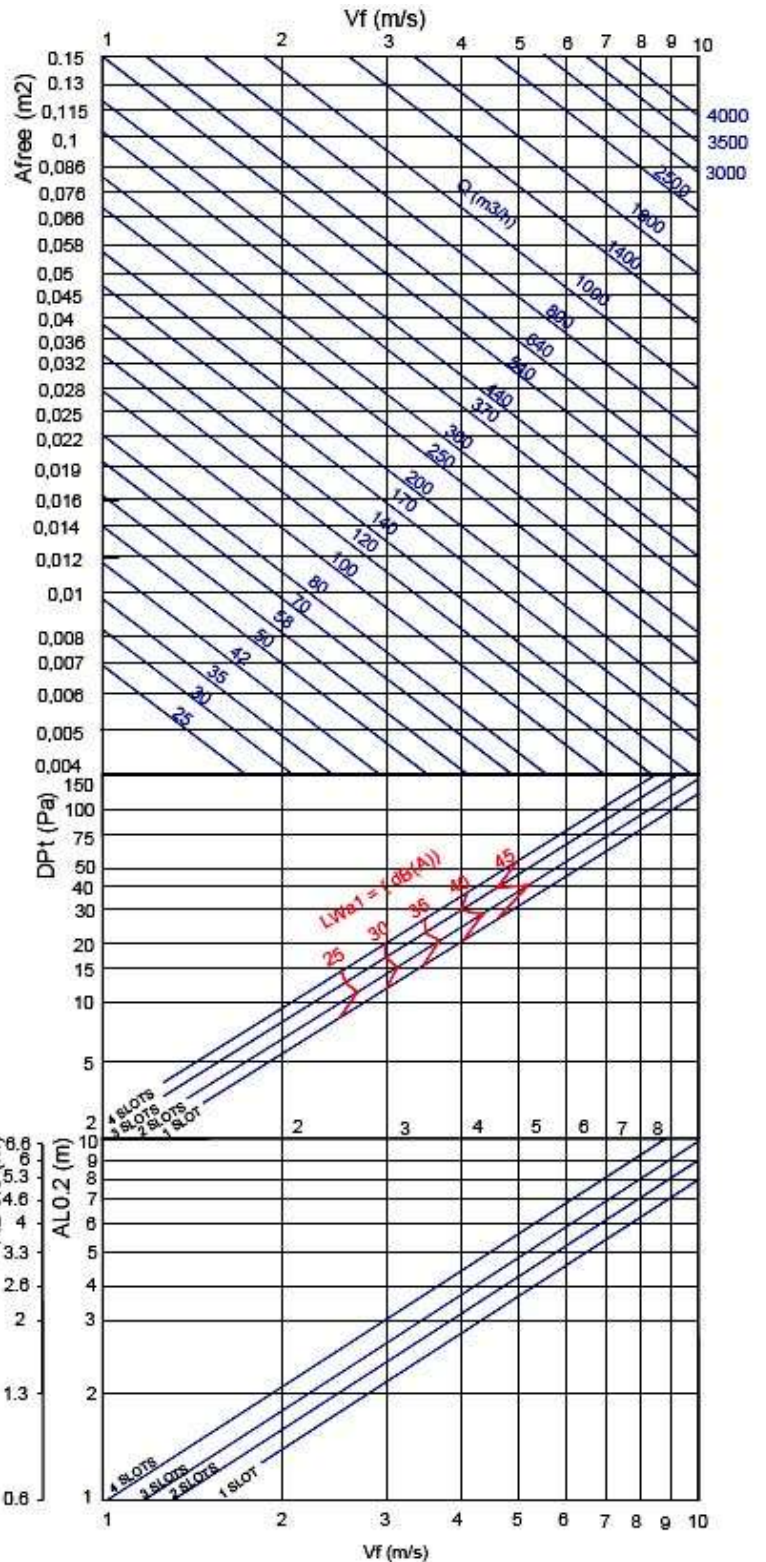
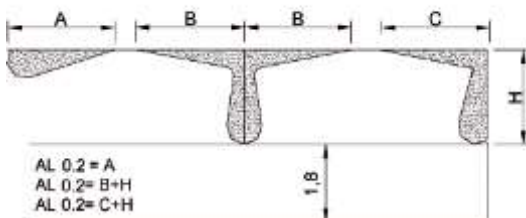
$$Dpt1 = Kp \times Dpt$$

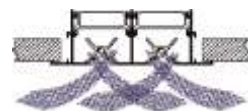
$$Lwa1 = Lwa + Kf$$

Поправочный коэффициент при выбросе KL

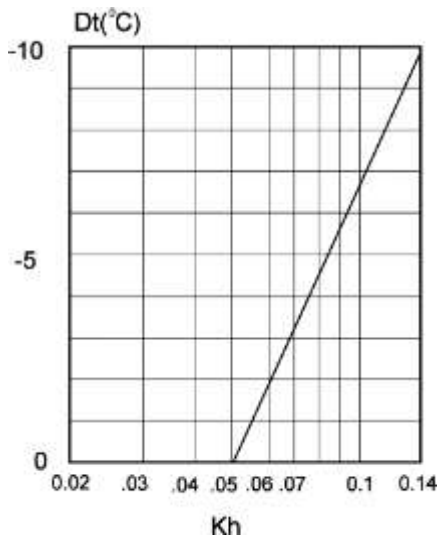
|   | 0.5 m | 1 m | 1.5 m | 2 m  |
|---|-------|-----|-------|------|
| 1 | 0.82  | 1   | 1.2   | 1.43 |
| 2 | 0.73  | 1   | 1.27  | 1.34 |
| 3 | 0.8   | 1   | 1.17  | 1.22 |
| 4 | 0.9   | 1   | 1.14  | 1.19 |

$$AL'02 = K1 \times AL02$$



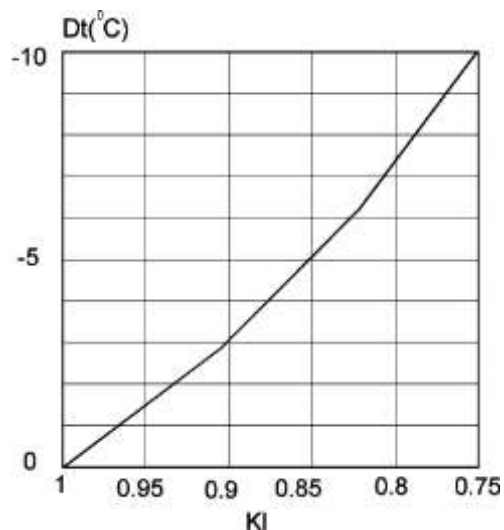


## ПОПРАВОЧНЫЙ КОЭФФИЦИЕНТ ПРИ РАСПРЕДЕЛЕНИИ ВОЗДУХА ПО ВЕРТИКАЛИ (bv) для Dt(-)

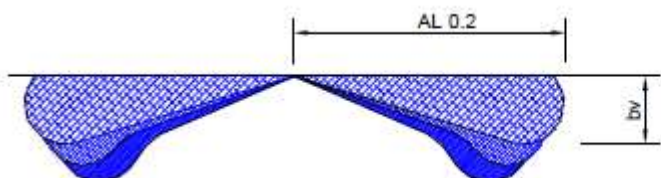


Kh – Поправочный коэффициент при вертикальной диффузии

## ПОПРАВОЧНЫЙ КОЭФФИЦИЕНТ ПРИ ВЫБРОСЕ (LO.2) Dt(-)



KI – Поправочный коэффициент при выбросе

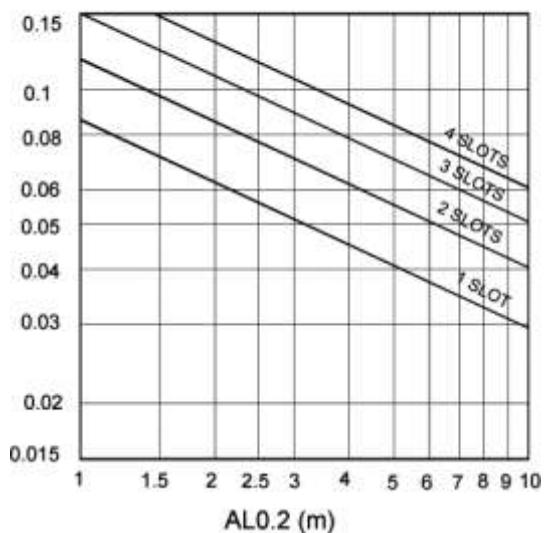


$$bv = Kh \times AL_{0.2}$$

$$AL'_{0.2} (Dt < 0) = KI \times AL_{0.2}$$

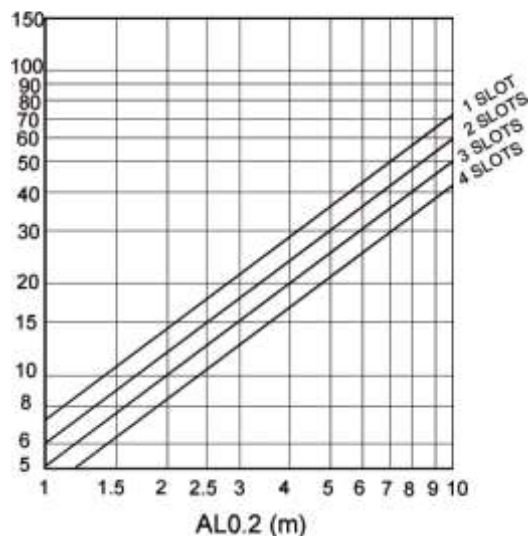
## СООТНОШЕНИЕ ТЕМПЕРАТУР

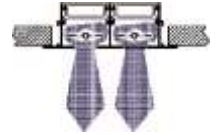
$$\frac{Dtl}{Dtz} = \frac{t_{room} - t_x}{t_{room} - t_{supply}}$$



## СООТНОШЕНИЕ ВЫХОДОВ ВОЗДУХА

$$i = \frac{Q_r}{Q_0} = \frac{Q_{total\ at\ x}}{Q\ of\ supply}$$





## РАСЧЕТНАЯ СКОРОСТЬ, ПОТЕРЯ ДАВЛЕНИЯ И УРОВЕНЬ ЗВУКОВОЙ МОЩНОСТИ, ВЕРТИКАЛЬНОЕ РАСПРЕДЕЛЕНИЕ ВОЗДУХА

Рекомендуемая скорость

| Кол-во щелей | Vmin m/s | Vmax m/s |
|--------------|----------|----------|
| 1            | 2,5      | 4,5      |
| 2            | 2,5      | 4,5      |
| 3            | 2,5      | 4,0      |
| 4            | 2,5      | 4,0      |

Площадь живого сечения (м<sup>2</sup>)

|   | 0.5 m  | 1 m    | 1.5 m  | 2 m    |
|---|--------|--------|--------|--------|
| 1 | 0.0043 | 0.0087 | 0.013  | 0.0174 |
| 2 | 0.0087 | 0.0174 | 0.0261 | 0.0348 |
| 3 | 0.013  | 0.0261 | 0.0391 | 0.0522 |
| 4 | 0.0172 | 0.0417 | 0.052  | 0.0696 |

Поправочный коэффициент для DPt и Lwa1

|   | 0.5 m |      |      | 1 m  |     |      | 1.5 m |      |      | 2 m  |      |      |      |
|---|-------|------|------|------|-----|------|-------|------|------|------|------|------|------|
|   | 100%  | 50%  | 0%   | 100% | 50% | 0%   | 100%  | 50%  | 0%   | 100% | 50%  | 0%   |      |
| 1 | Dpt   | 0.95 | 2.35 | 3.15 | 1   | 1.4  | 2.2   | 1    | 1.4  | 2.2  | 1.1  | 2.5  | 3.3  |
|   | Lwa1  | -6.1 | -3.1 | -3.6 | 0   | +0.8 | +0.4  | +0.9 | +1.6 | +1   | -2.1 | -0.5 | -1.9 |
| 2 | Dpt   | 0.98 | 2.48 | 3.25 | 1   | 1.5  | 2.3   | 1    | 1.5  | 2.3  | 1.2  | 2.7  | 3.5  |
|   | Lwa1  | -3.8 | -3.4 | -2.9 | 0   | +0.6 | +0.6  | +2.4 | +3.3 | +3.2 | -0.3 | +0.9 | +1.1 |
| 3 | Dpt   | 0.96 | 2.26 | 3.36 | 1   | 1.3  | 2.4   | 1    | 1.3  | 2.4  | 1.3  | 2.4  | 3.5  |
|   | Lwa1  | -7   | -6.3 | -6   | 0   | +0.9 | +0.5  | -2.8 | -2.8 | -2.9 | -1.5 | -1.2 | -1.3 |
| 4 | Dpt   | 0.95 | 2.35 | 3.05 | 1   | 1.4  | 2.1   | 1    | 1.4  | 2.1  | 1.1  | 2.5  | 3.2  |
|   | Lwa1  | -3.4 | -1.5 | -2.5 | 0   | +1.6 | +1.2  | -1.9 | -1.3 | -1.4 | -1.9 | -1.2 | -1.3 |

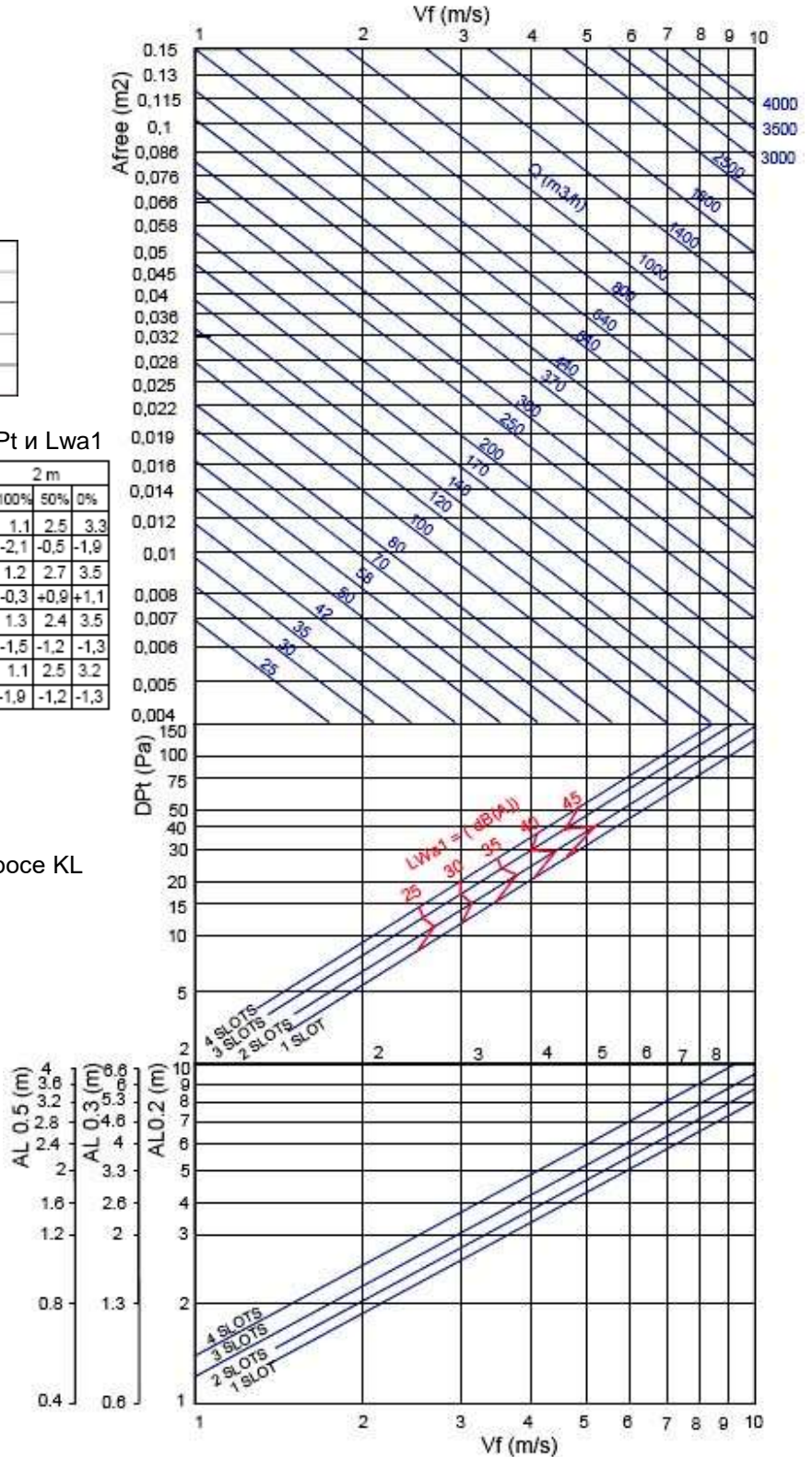
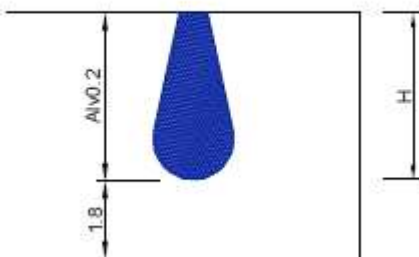
$$DPt1 = Kp \times DPt$$

$$Lwa1 = Lwa + Kf$$

Поправочный коэффициент при выбросе KL

|   | 0.5 m | 1 m | 1.5 m | 2 m  |
|---|-------|-----|-------|------|
| 1 | 0.7   | 1   | 1.1   | 1.2  |
| 2 | 0.72  | 1   | 1.15  | 1.25 |
| 3 | 0.72  | 1   | 1.12  | 1.2  |
| 4 | 0.74  | 1   | 1.25  | 1.25 |

$$ALv'0.2 = Kl \times ALv02$$

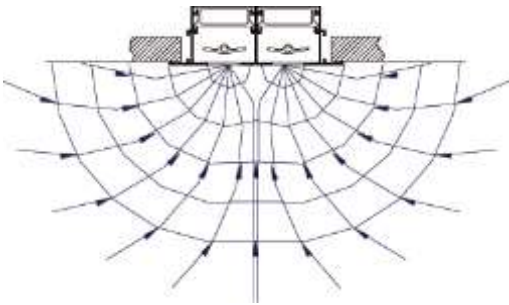




| Кол-во щелей | DT (+5) | DT (+10) |
|--------------|---------|----------|
| 1            | 0,75    | 0,64     |
| 2            | 0,76    | 0,65     |
| 3            | 0,77    | 0,66     |
| 4            | 0,8     | 0,64     |

DT = T притока - T комн.  
 $Alv\ 0,2\ (DT+) = Kv \times Al\ 02$

**ПРИМЕР :**  
 LSD 2x2000  
 $A_{free} = 0,0348\ m^2$   
 $V_f = 3,1\ m/c$   
 $ALv\ 0,2 = 2,9\ m$   
 $Alv' = 1,1 \times 2,9 = 3,19\ m$   
 $DT(+5) = 0,76 \times 3,19 = 2,42\ m$   
 $DT(+10) = 0,65 \times 3,19 = 2,07\ m$



Рекомендуемая скорость

| Кол-во щелей | Vmin m/s | Vmax m/s |
|--------------|----------|----------|
| 1            | 2        | 3,5      |
| 2            | 2        | 3,5      |
| 3            | 2        | 3,0      |
| 4            | 2        | 3,0      |

Площадь живого сечения (м<sup>2</sup>)

|   | 0.5 m  | 1 m    | 1.5 m  | 2 m    |
|---|--------|--------|--------|--------|
| 1 | 0.0043 | 0.0087 | 0.013  | 0.0174 |
| 2 | 0.0087 | 0.0174 | 0.0261 | 0.0348 |
| 3 | 0.013  | 0.0261 | 0.0391 | 0.0522 |
| 4 | 0.0172 | 0.0417 | 0.052  | 0.0696 |

Поправочный коэффициент при выбросе KL

|   |      | 0.5 m |      |      | 1 m  |     |     | 1.5 m |     |     | 2 m  |      |      |
|---|------|-------|------|------|------|-----|-----|-------|-----|-----|------|------|------|
|   |      | 100%  | 50%  | 0%   | 100% | 50% | 0%  | 100%  | 50% | 0%  | 100% | 50%  | 0%   |
| 1 | Dpt  | 0.88  | 2.28 | 3    | 1    | 1.4 | 2.2 | 1.3   | 2.7 | 3.5 | 1.5  | 2.9  | 3.7  |
|   | Lwa1 | -     | 3    | 5    | -    | 4   | 7   | -     | 3   | 5   | -    | 3    | 7    |
| 2 | Dpt  | 0.85  | 2.35 | 3.15 | 1    | 1.5 | 2.3 | 1.4   | 2.9 | 3.7 | 1.66 | 3.16 | 3.96 |
|   | Lwa1 | -     | 3    | 5    | -    | 4   | 7   | -     | 4   | 7   | -    | 3    | 8    |
| 3 | Dpt  | 0.8   | 2.1  | 3.2  | 1    | 1.3 | 2.4 | 1.2   | 2.5 | 3.6 | 1.4  | 2.7  | 3.8  |
|   | Lwa1 | -     | 4    | 5    | -    | 5   | 8   | -     | 5   | 8   | -    | 4    | 8    |
| 4 | Dpt  | 0.7   | 2.1  | 2.8  | 1    | 1.4 | 2.1 | 1.3   | 2.7 | 3.4 | 1.5  | 2.9  | 3.6  |
|   | Lwa1 | -     | 4    | 5    | -    | 4   | 8   | -     | 5   | 8   | -    | 4    | 8    |

$$Dpt1 = Kp \times Dpt$$

$$Lwa1 = Lwa + Kf$$

## РАСЧЕТНАЯ СКОРОСТЬ, ПОТЕРЯ ДАВЛЕНИЯ И УРОВЕНЬ ЗВУКОВОЙ МОЩНОСТИ

